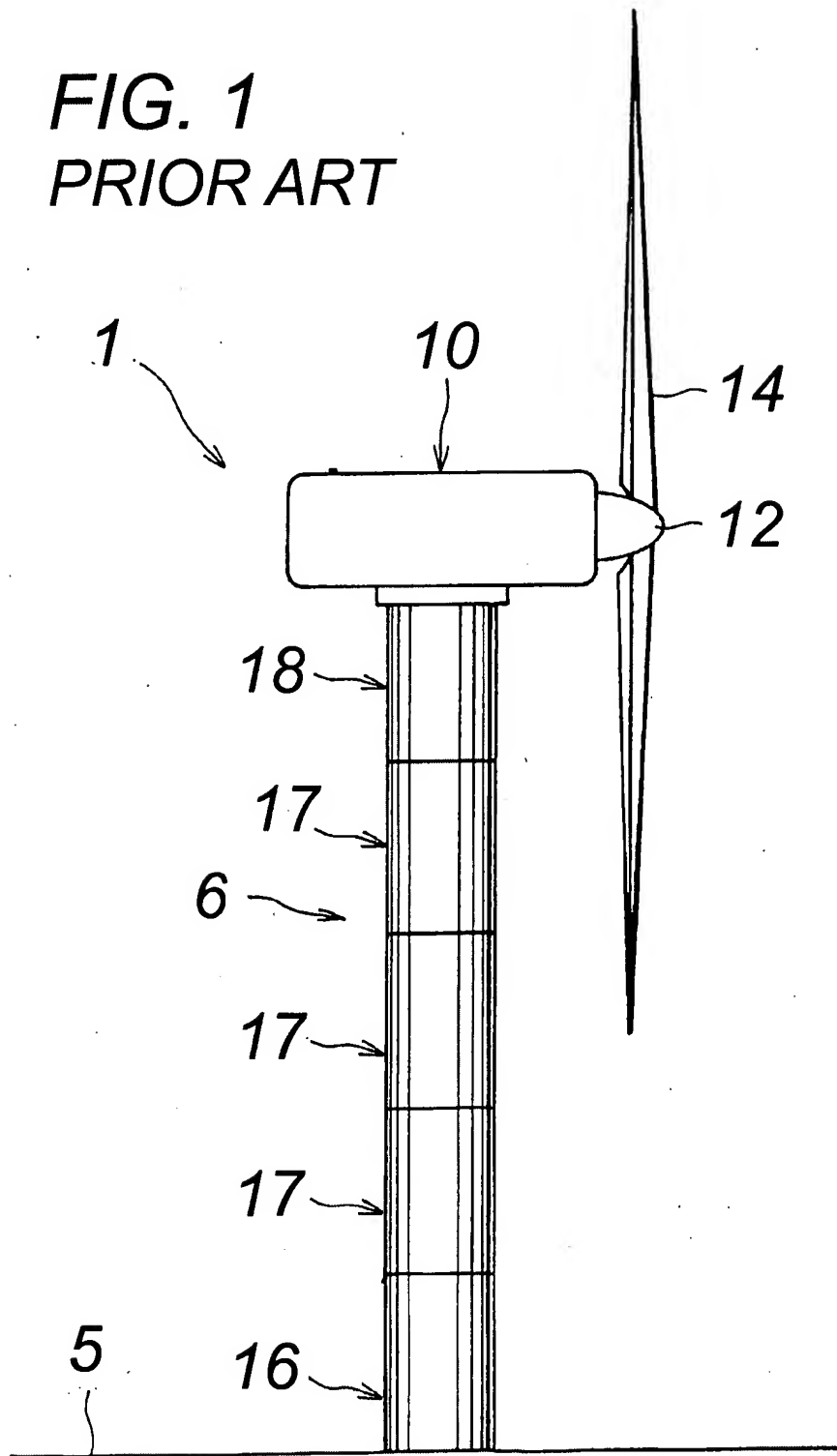
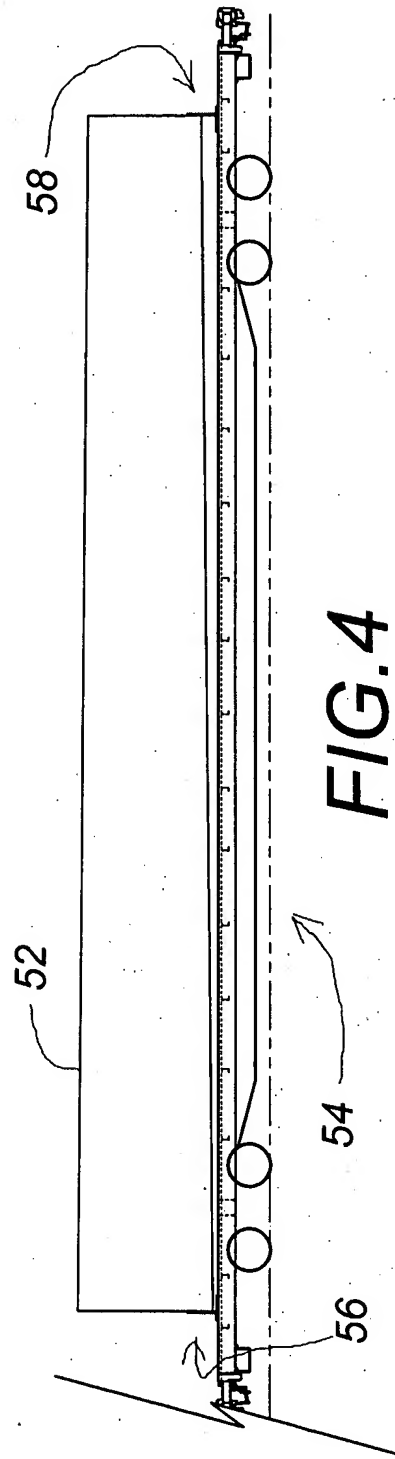
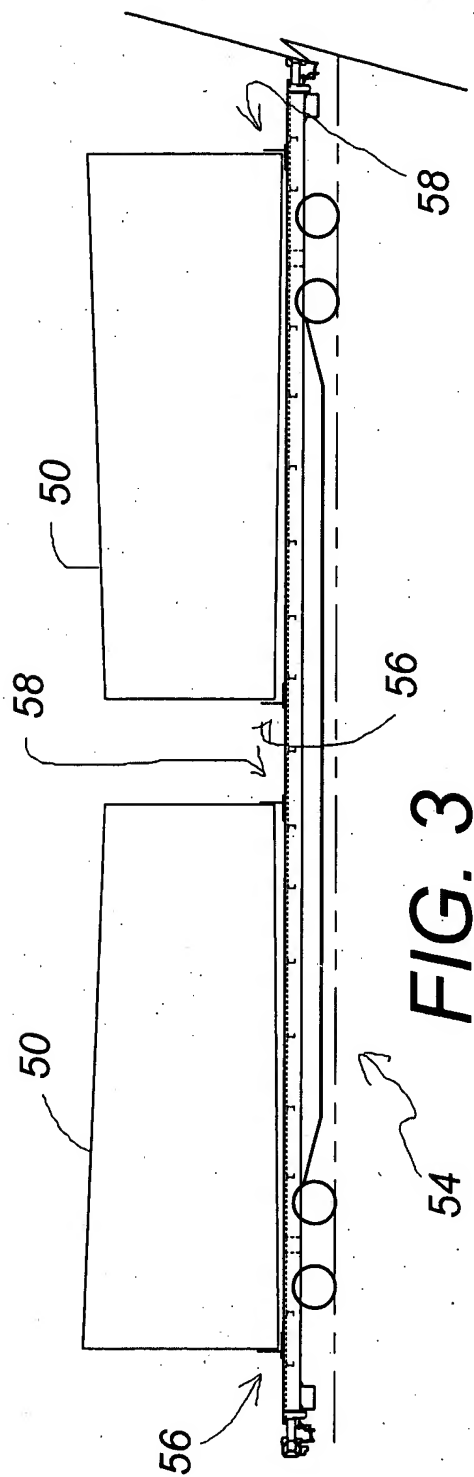


FIG. 1
PRIOR ART





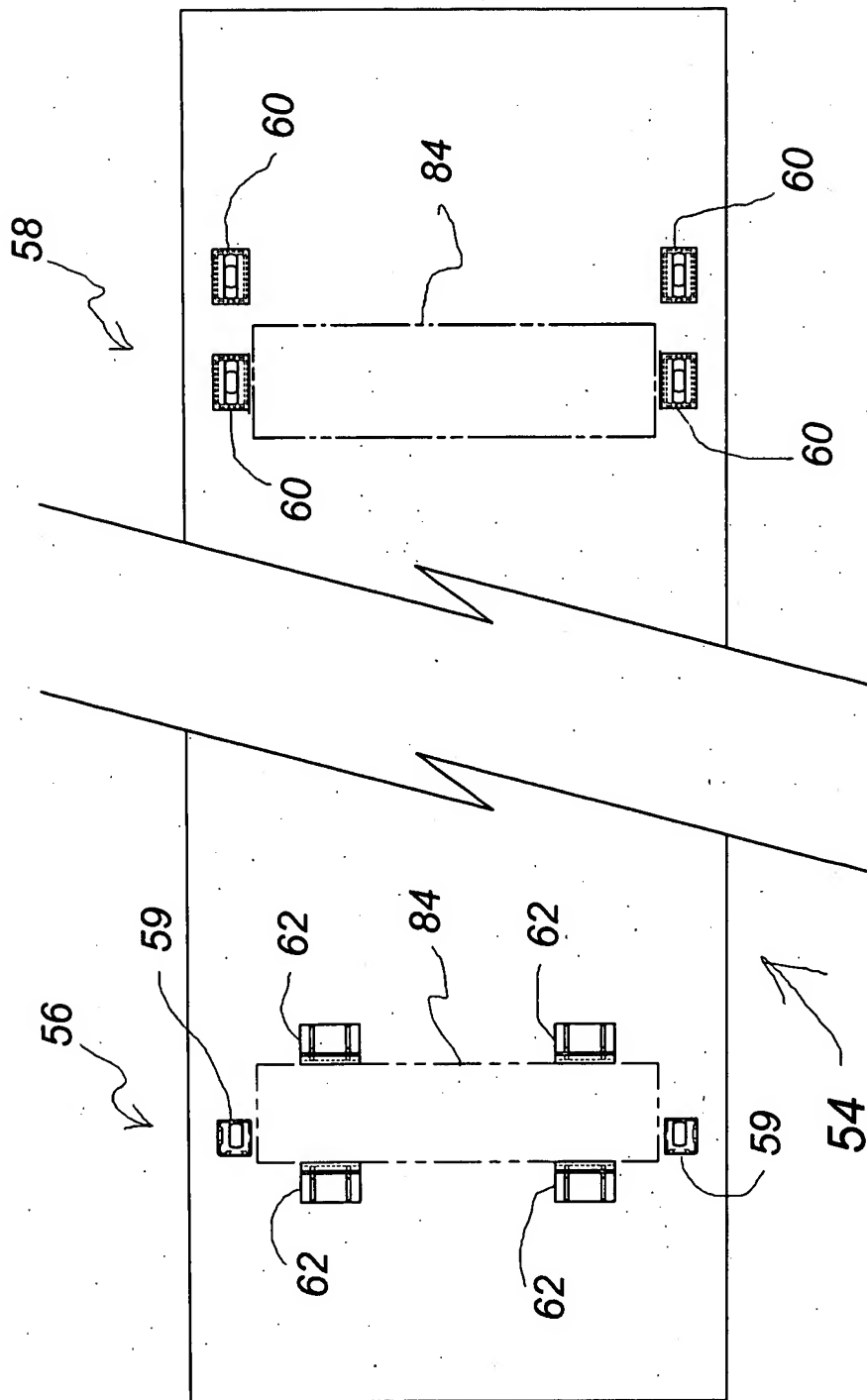


FIG. 5

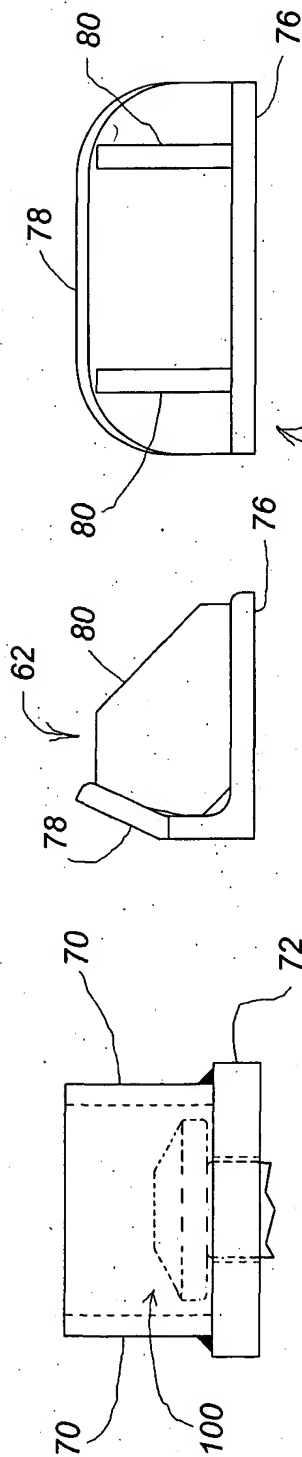


FIG. 6

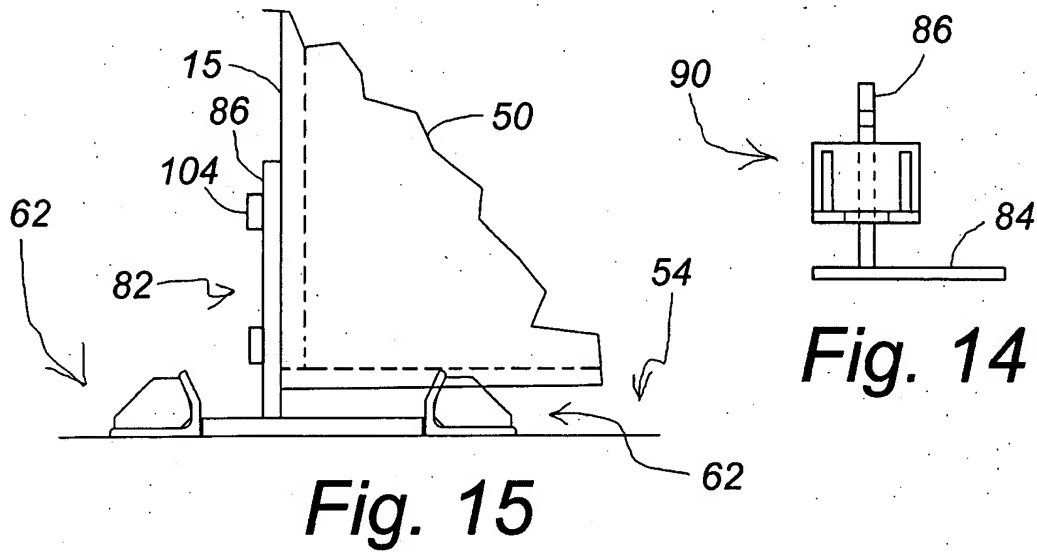
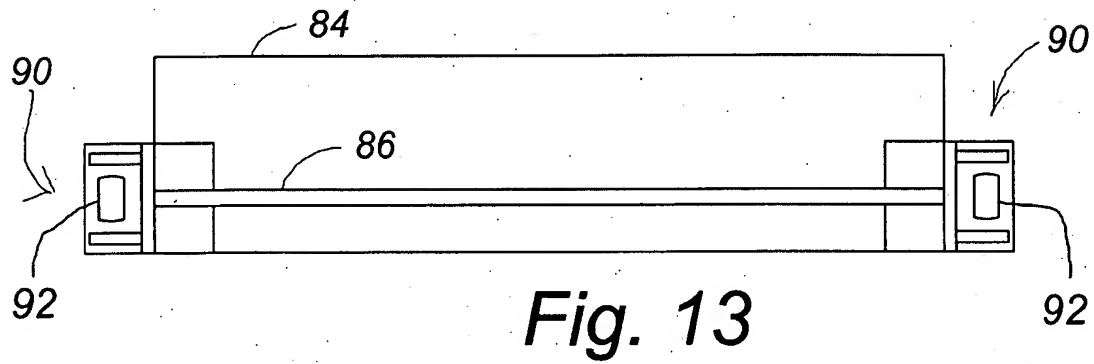
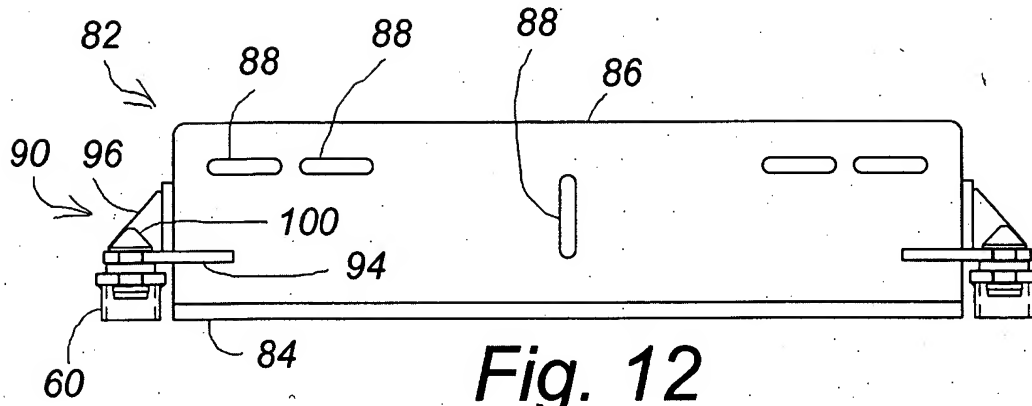
FIG. 7

FIG. 8

FIG. 9

FIG. 10

FIG. 11



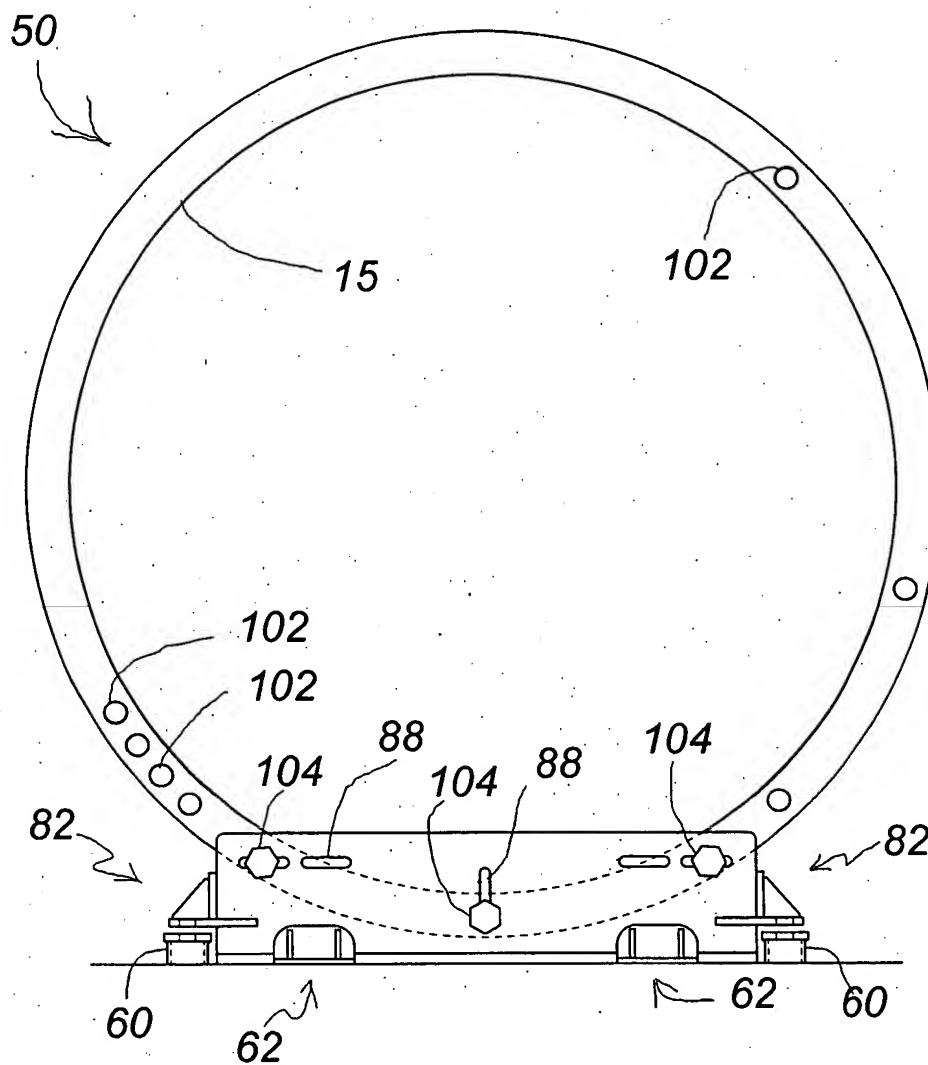


FIG. 16

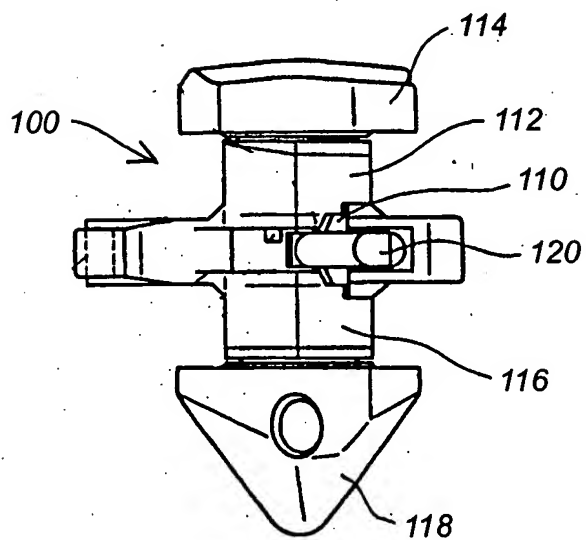


FIG. 17
PRIOR ART

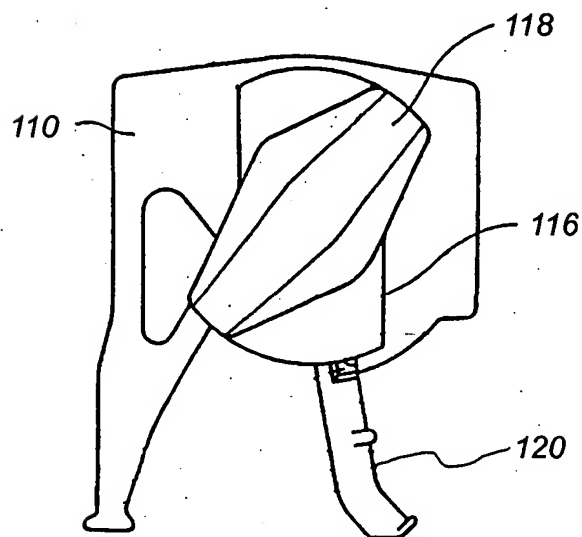


FIG. 18
PRIOR ART

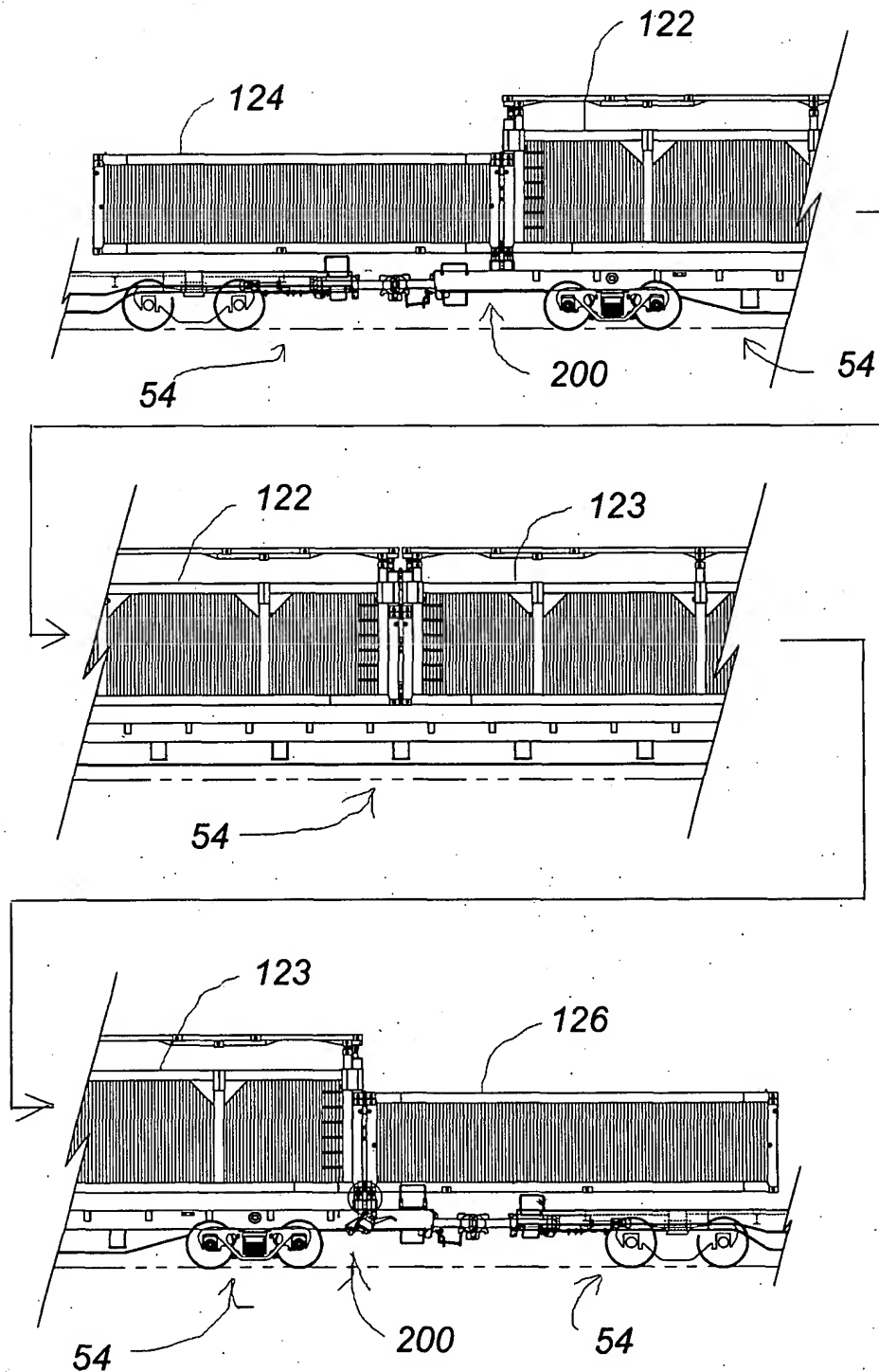
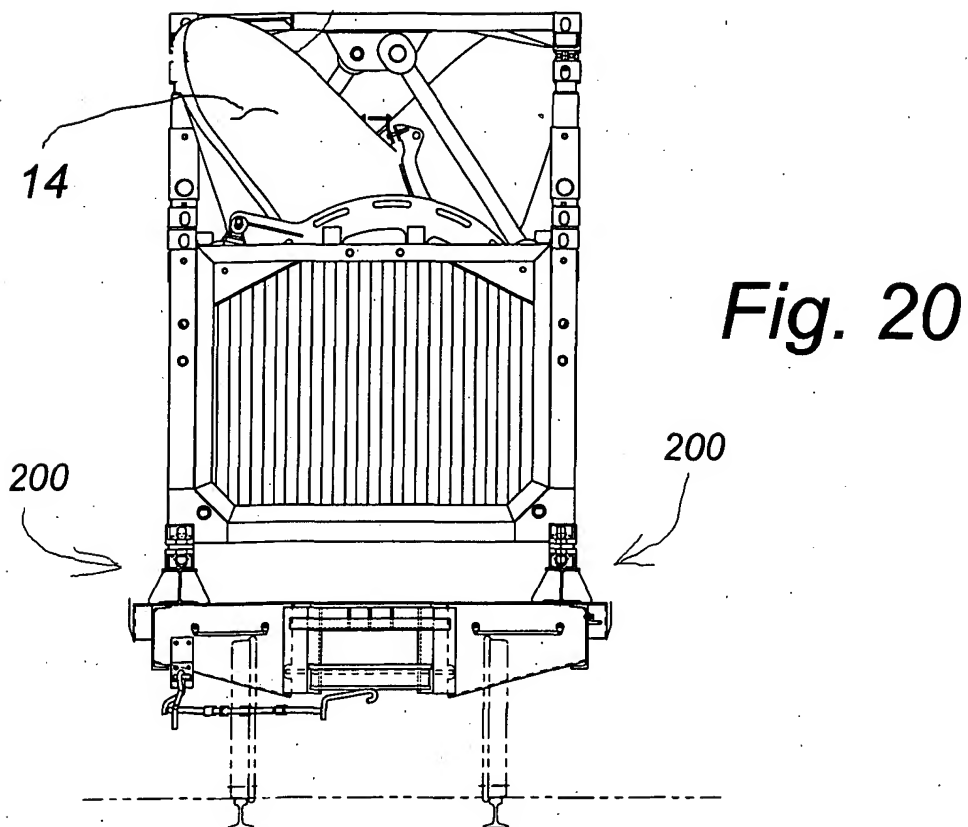
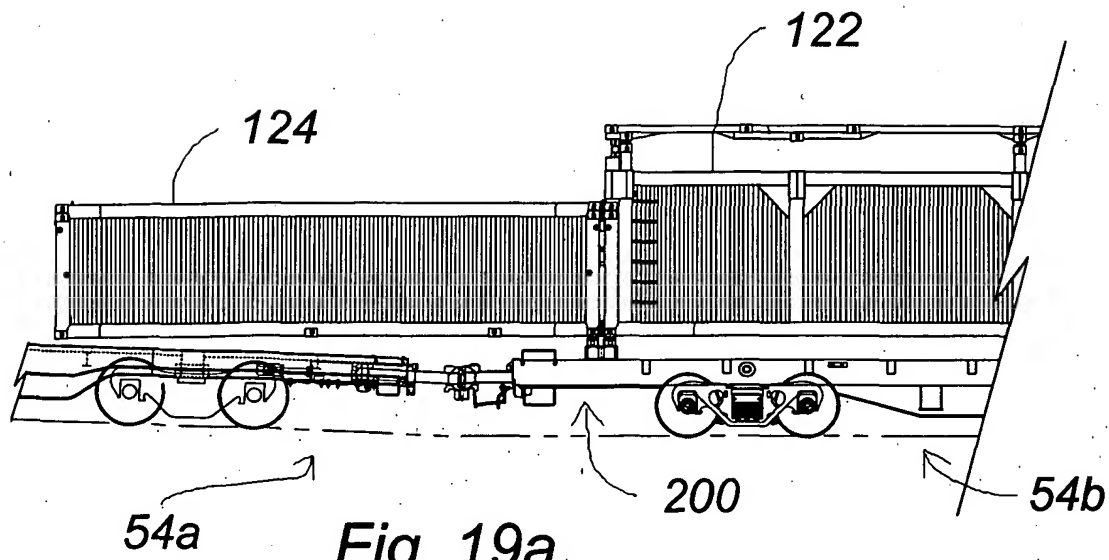


Fig 19



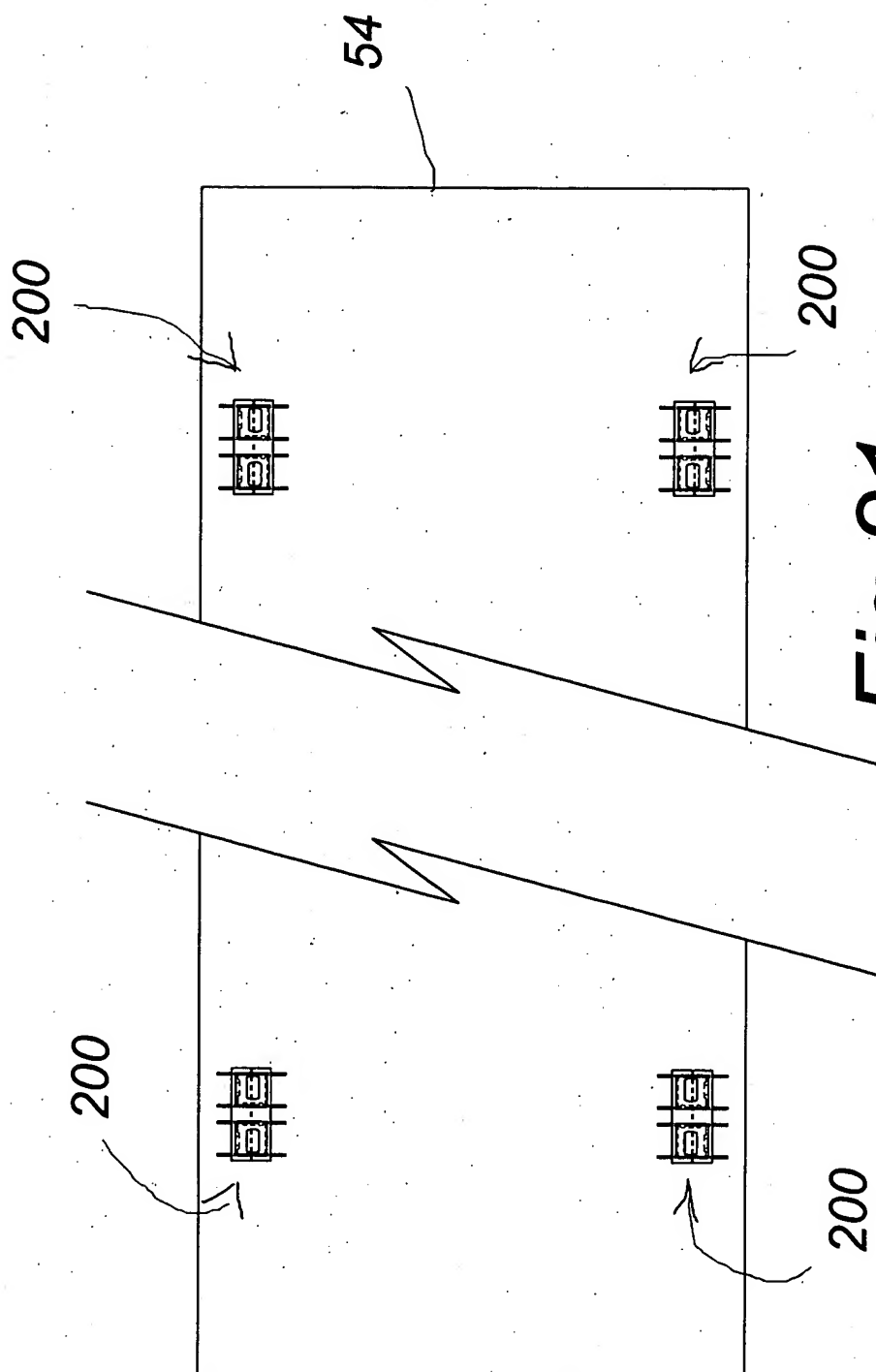


Fig. 21

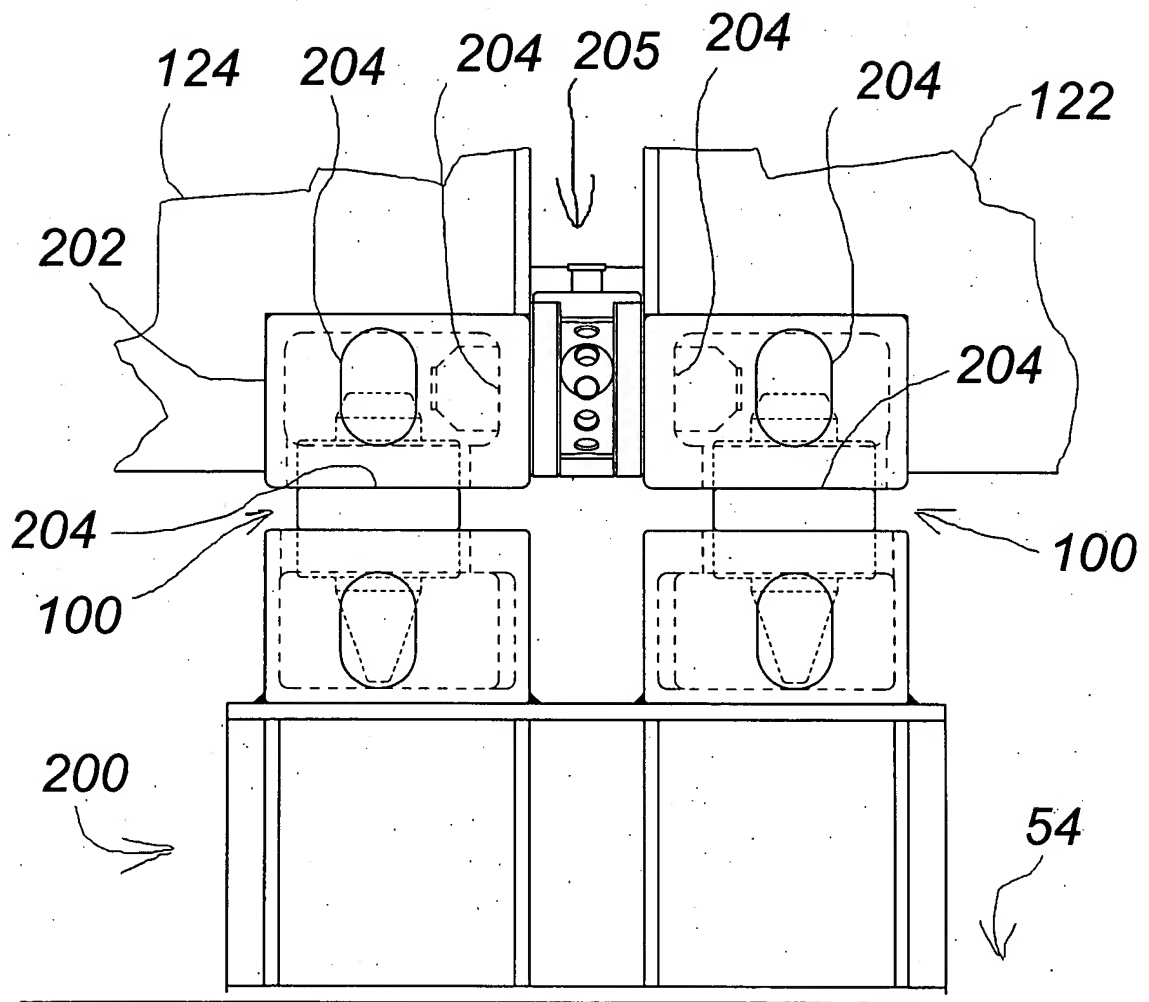


Fig. 22

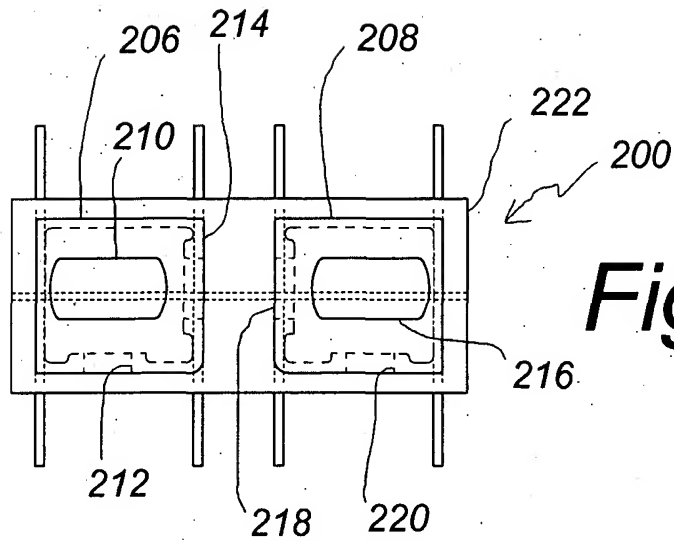


Fig. 23

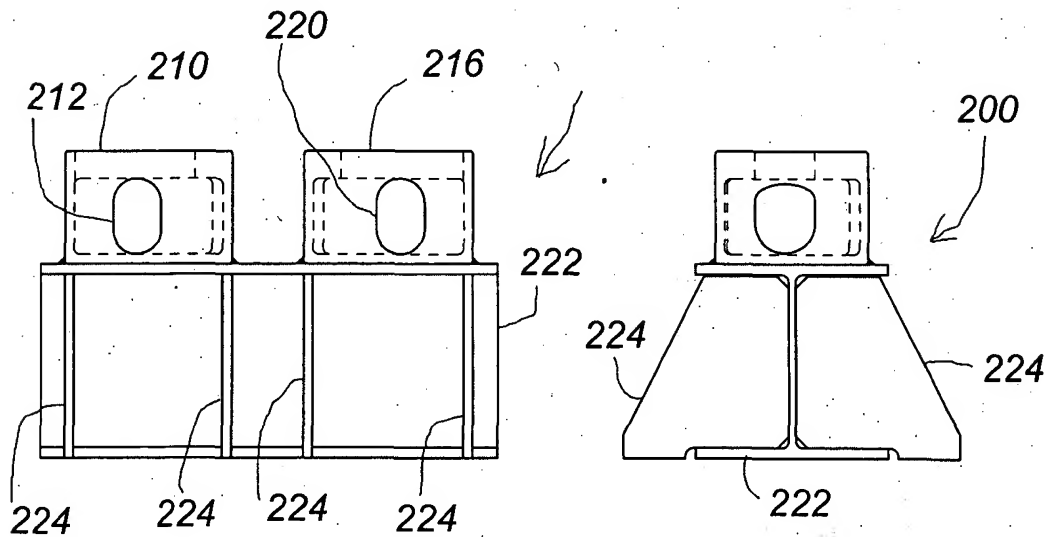
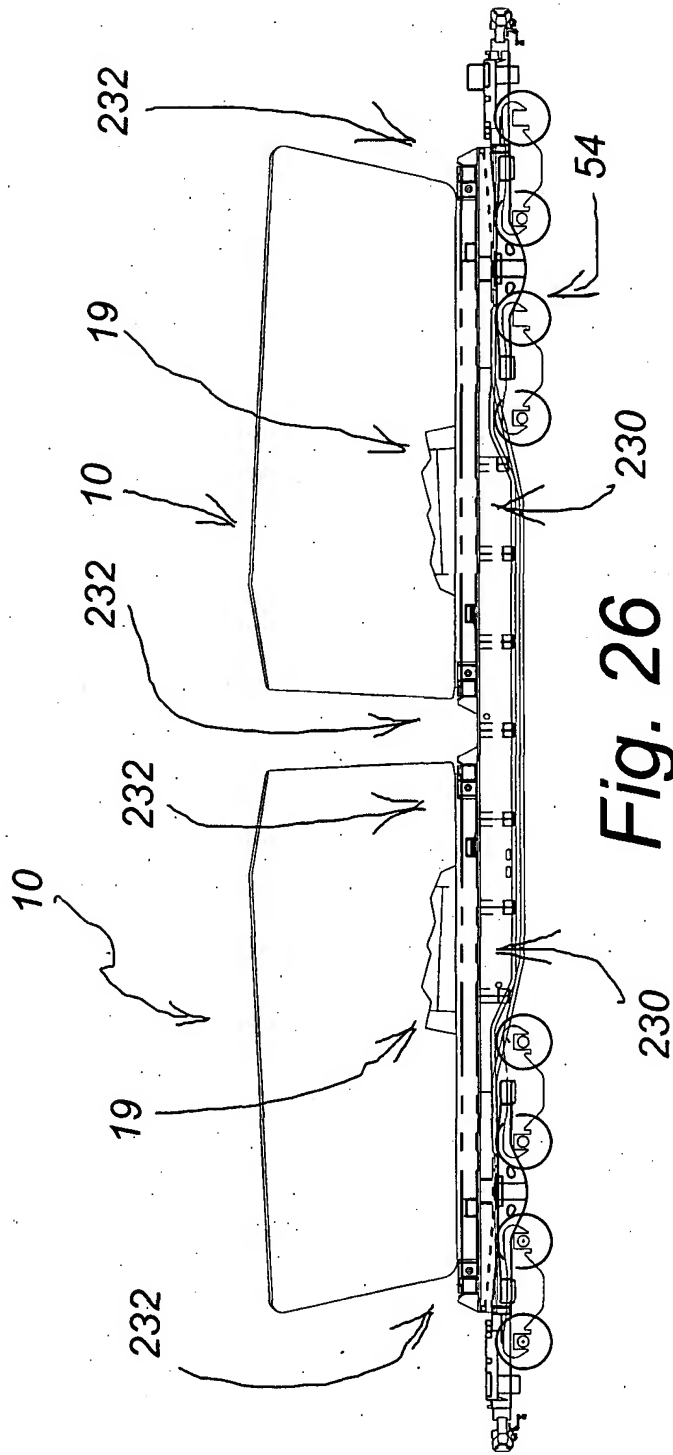


Fig. 24

Fig. 25



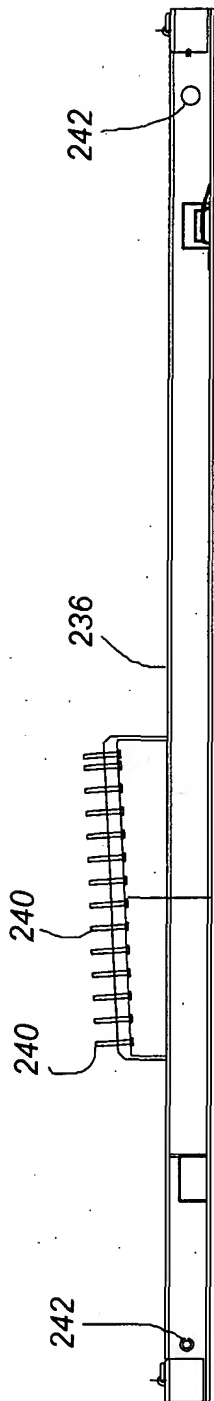


Fig. 27

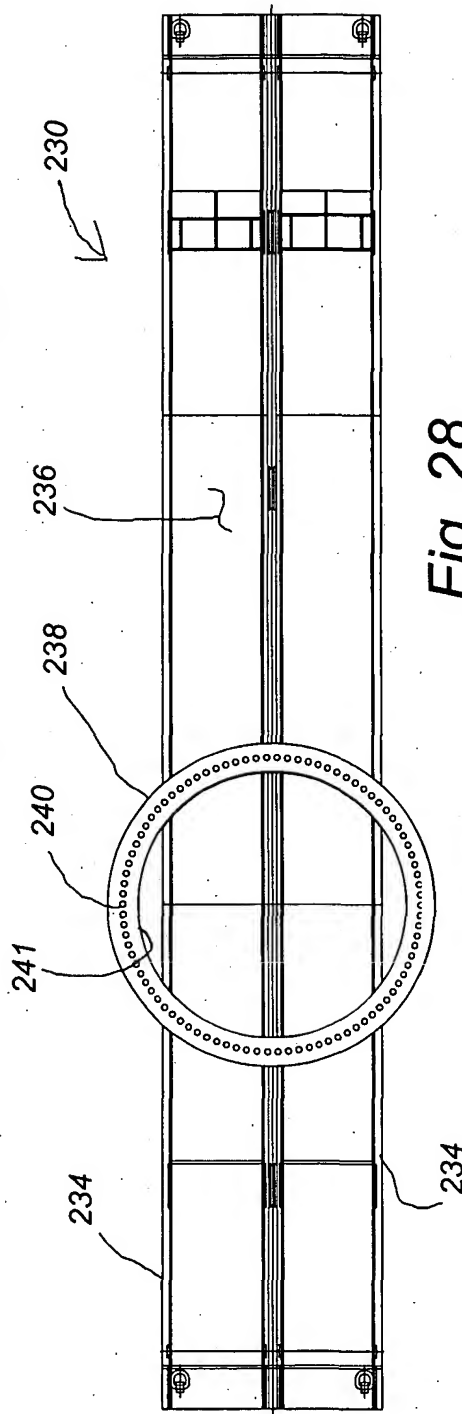
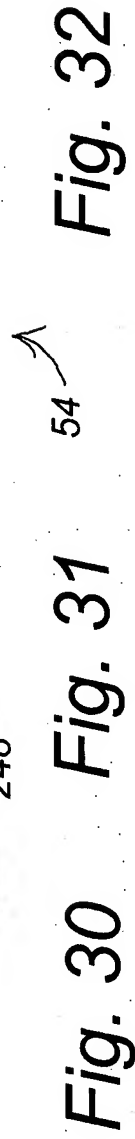
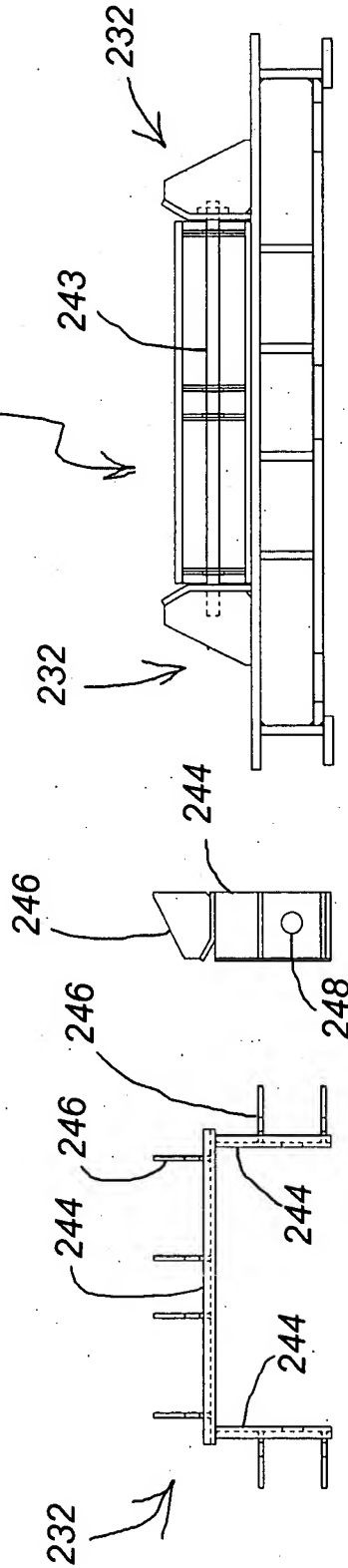
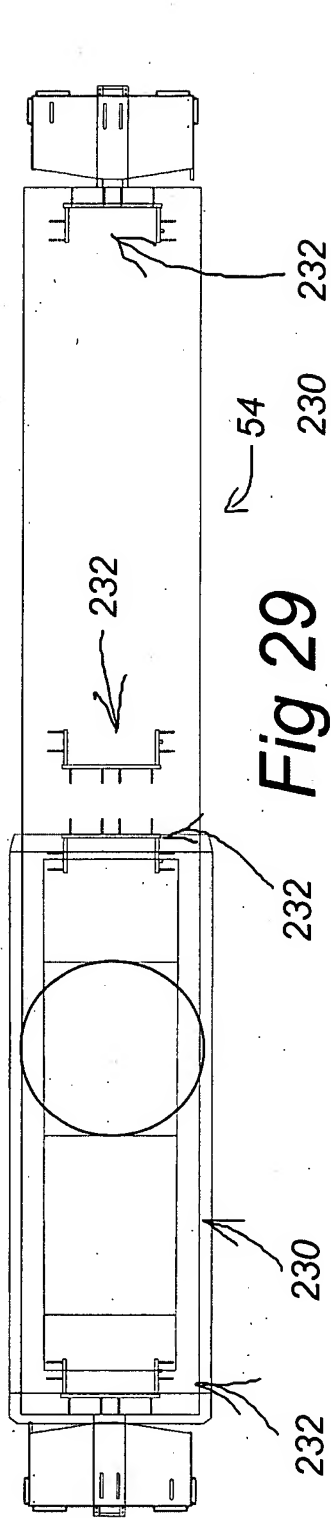


Fig. 28



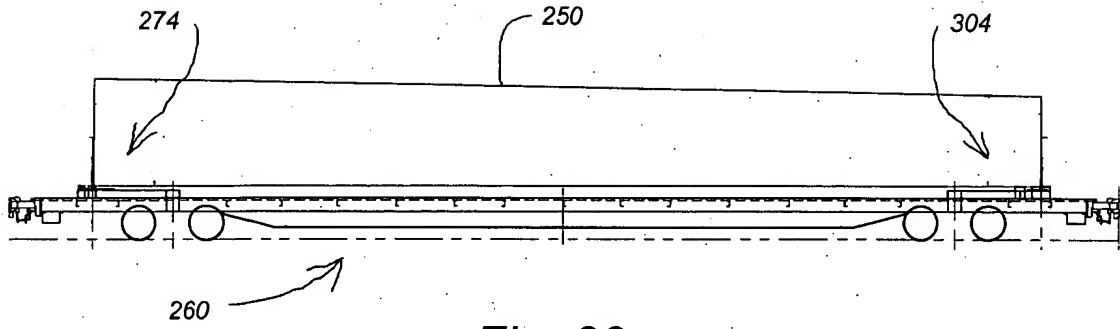


Fig. 33

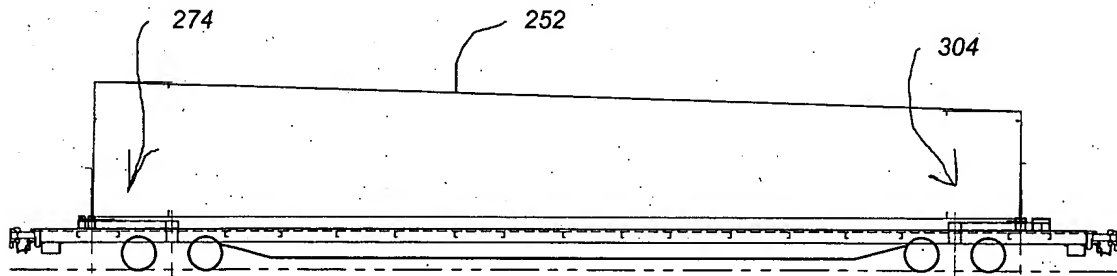


Fig. 34

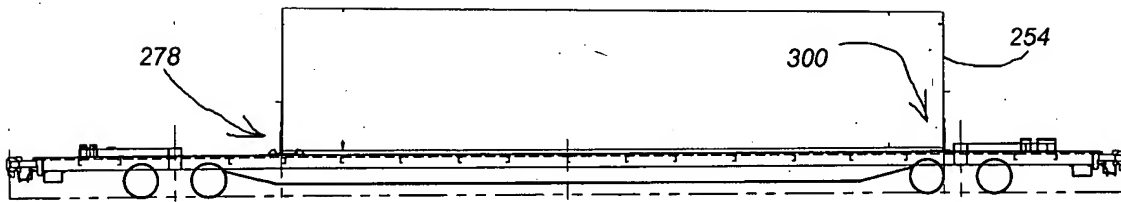


Fig 35

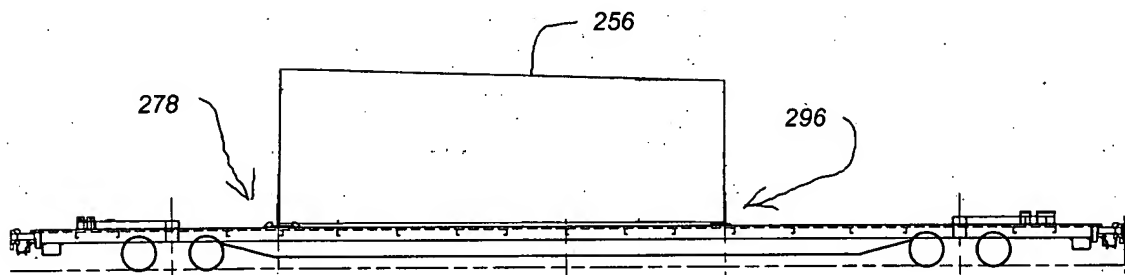


Fig 36

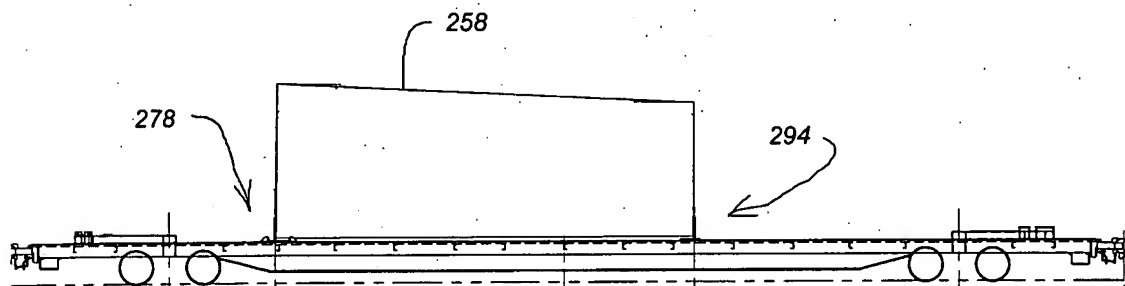
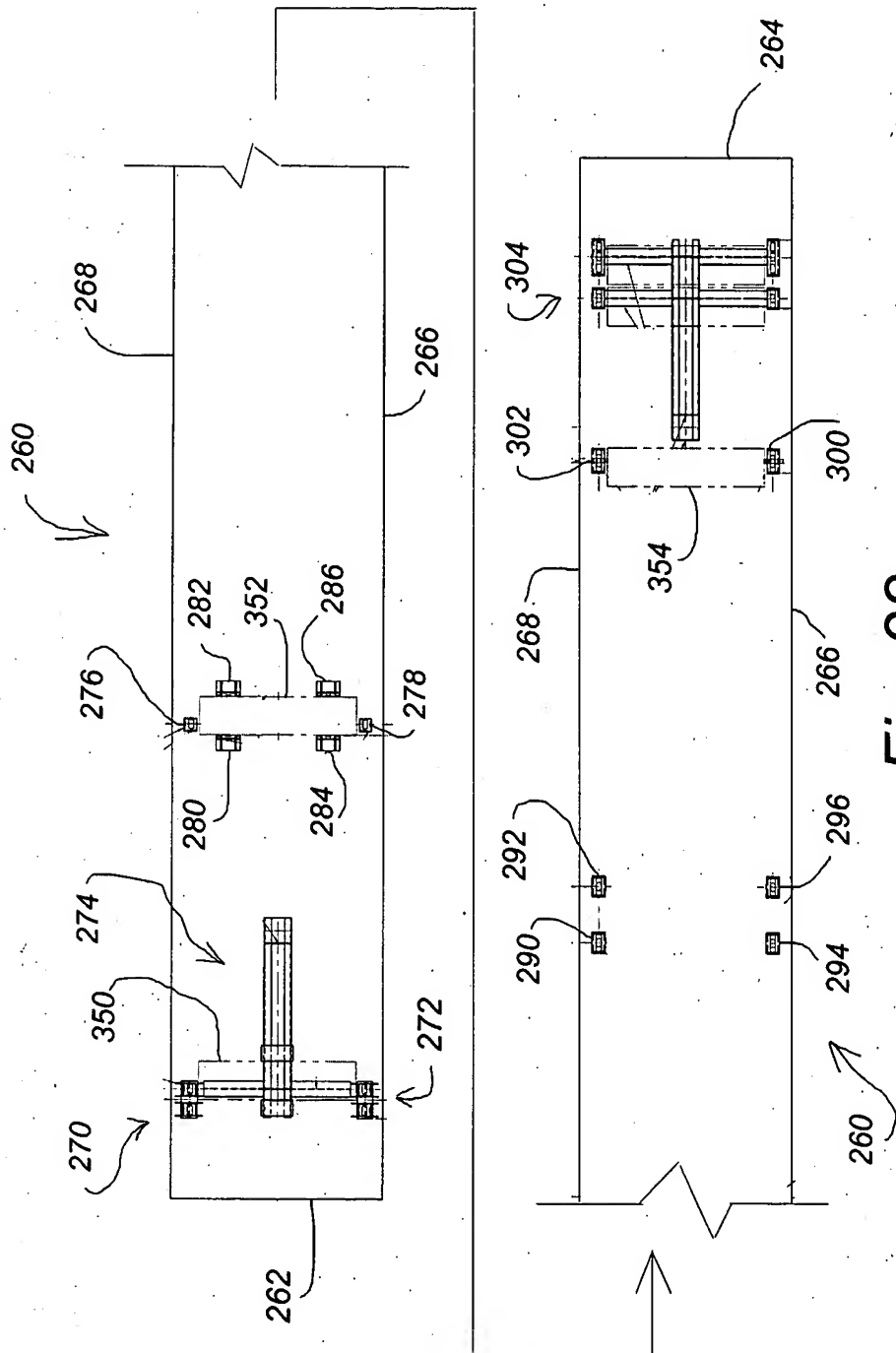


Fig 37



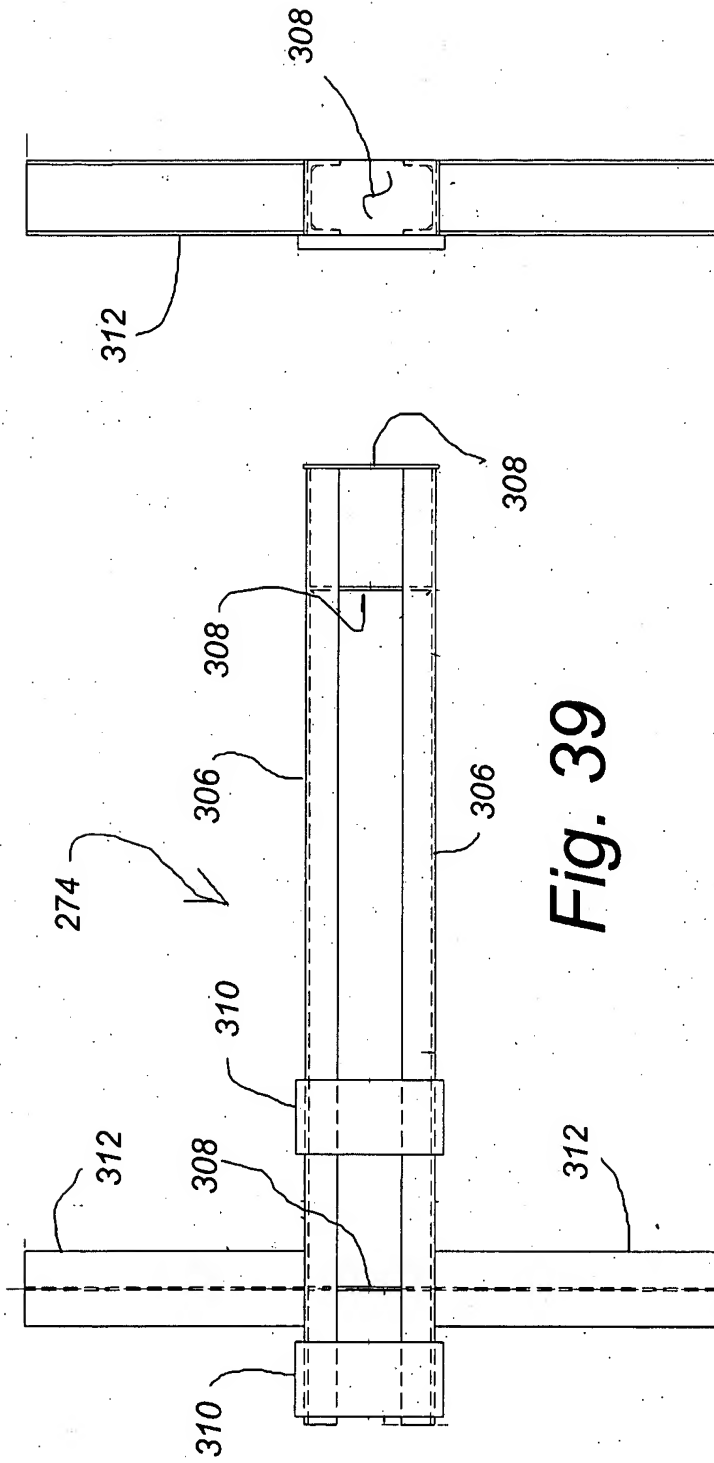


Fig. 39

Fig. 41

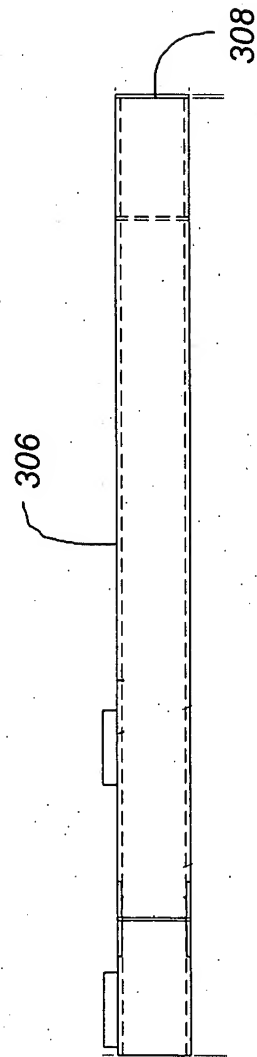


Fig. 40

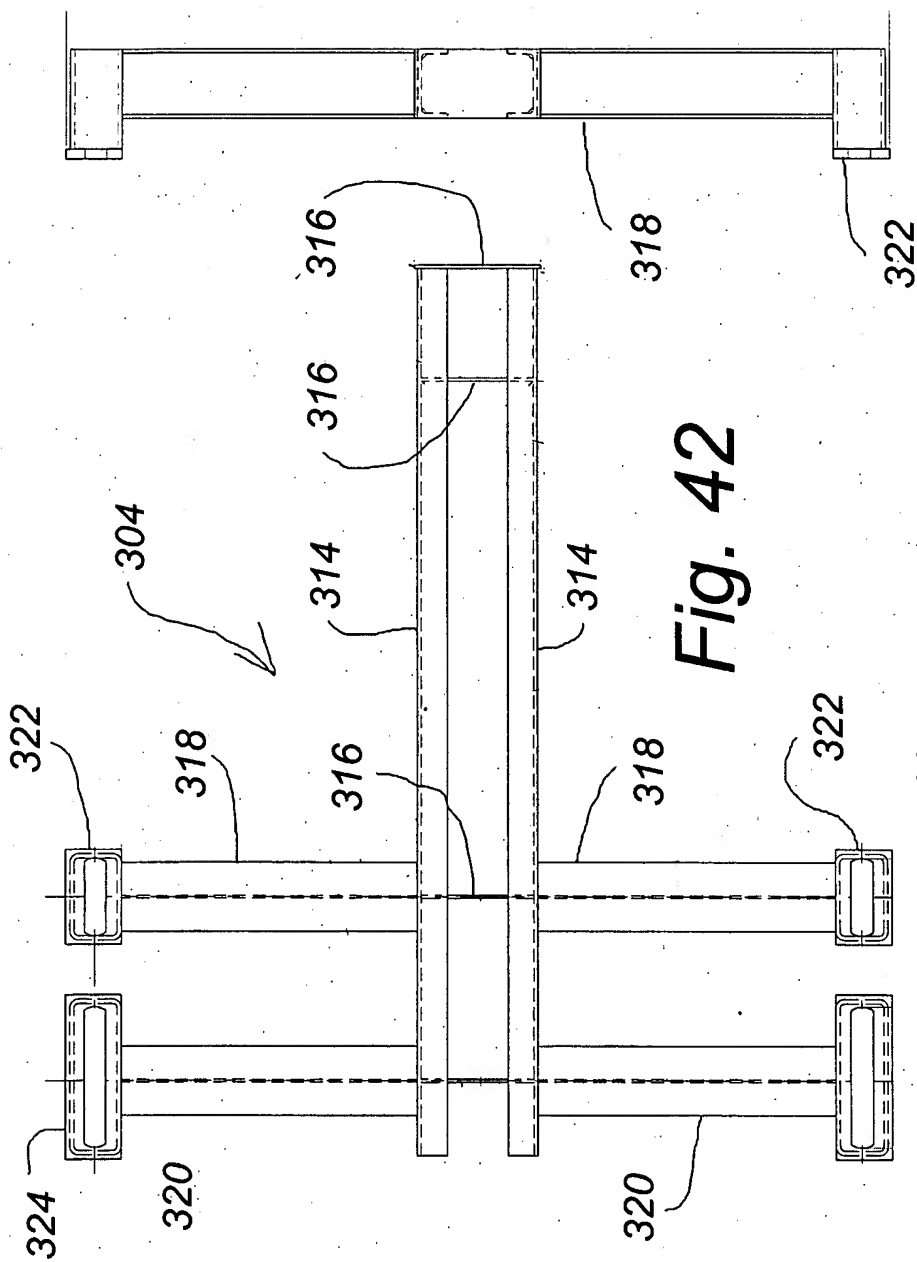


Fig. 42

Fig. 44

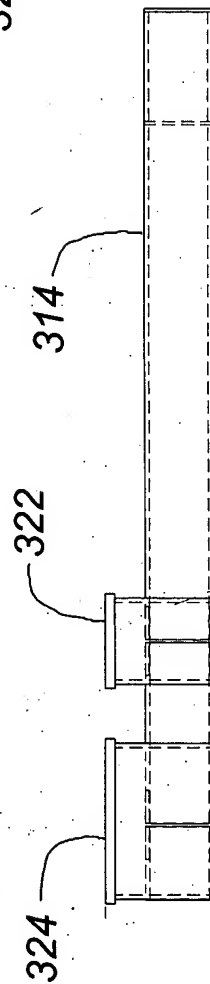


Fig. 43

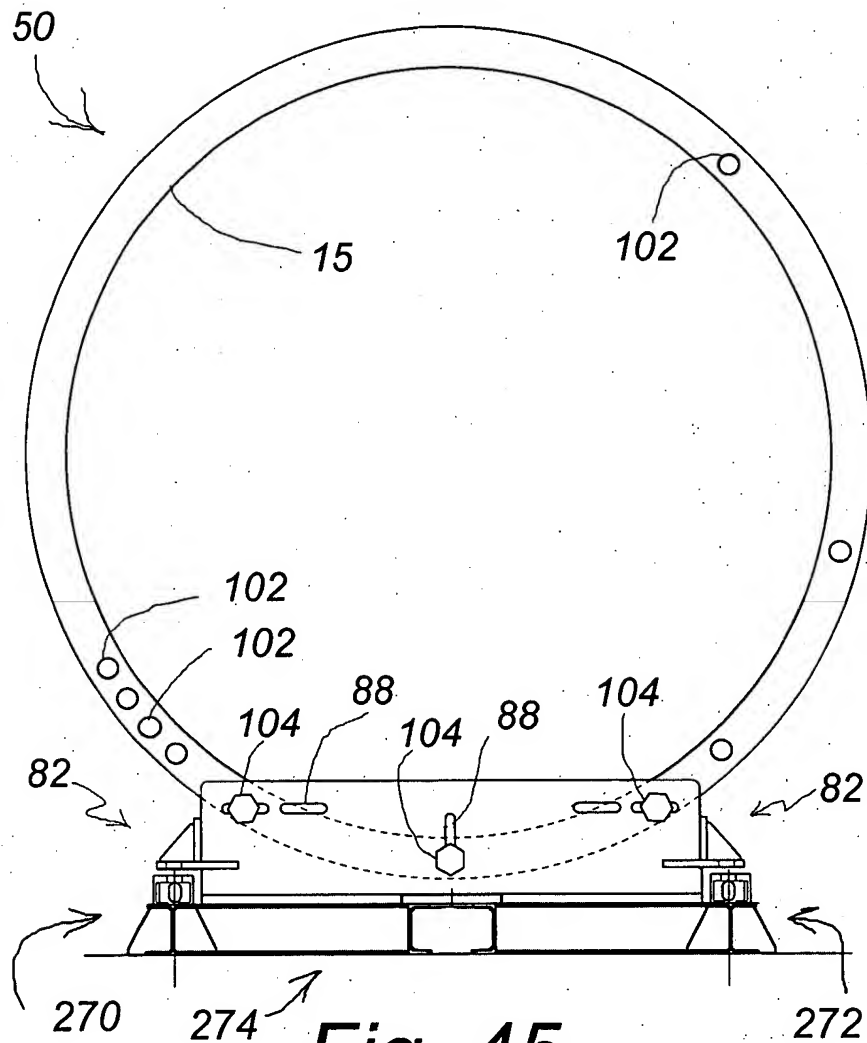


Fig. 45

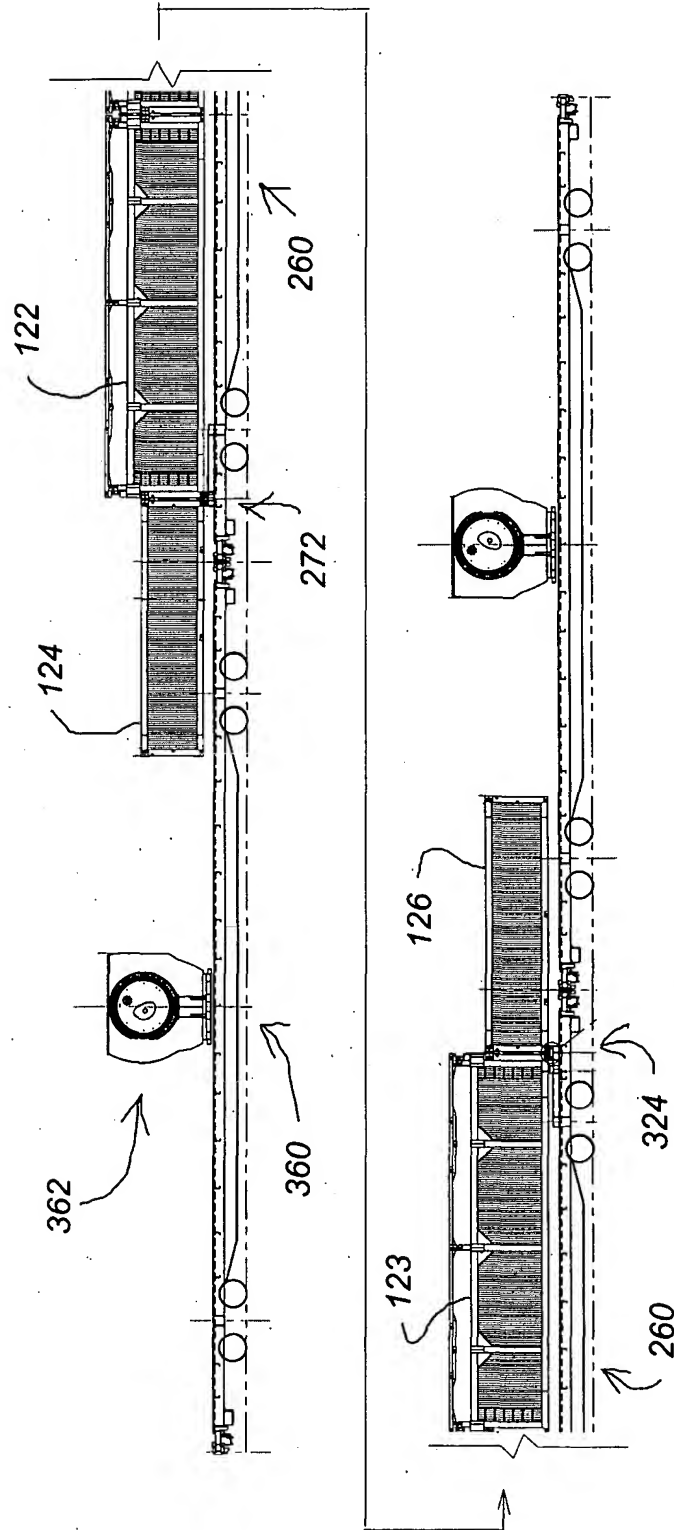


Fig. 46

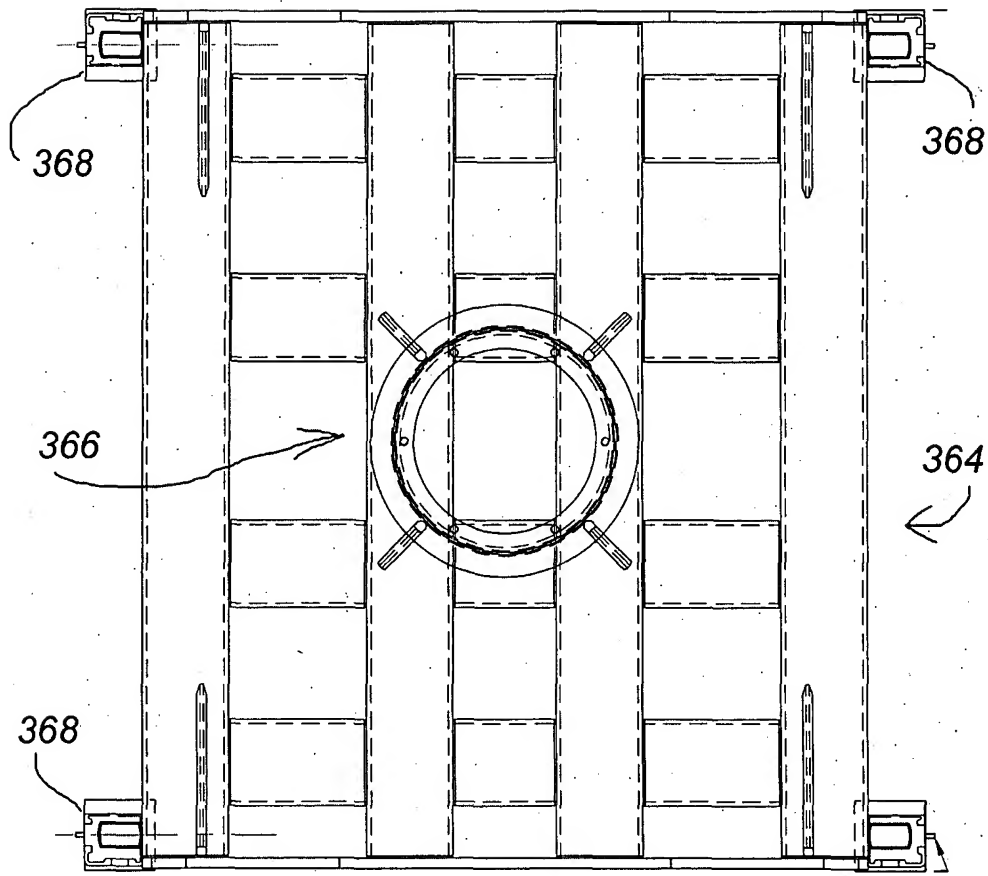


Fig. 47

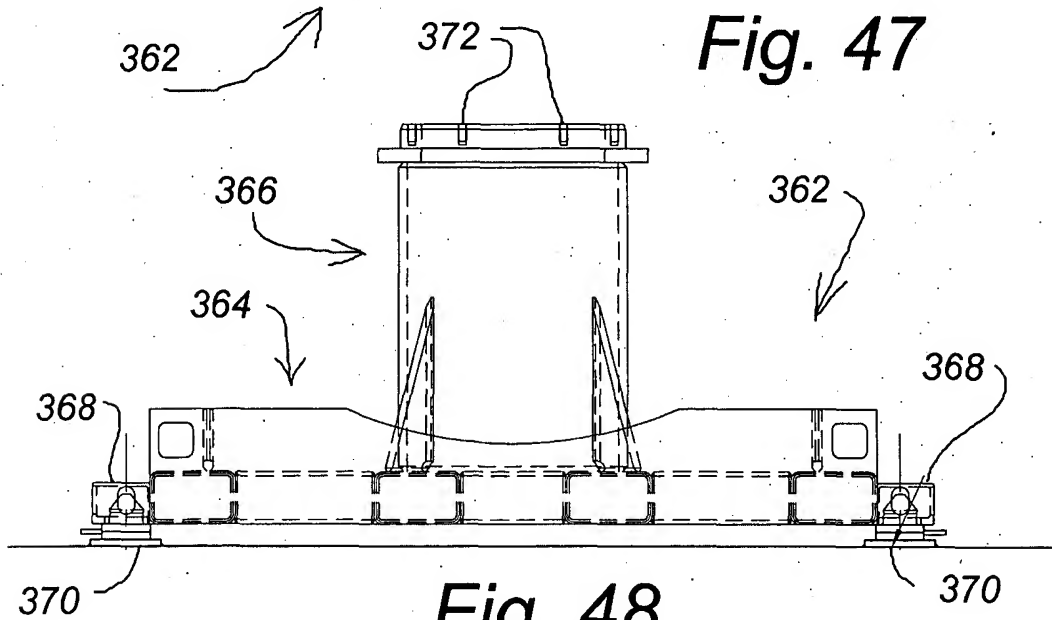


Fig. 48